Лекция 6.

Содержание.

Спектроскопия ¹³С-ЯМР

6.1. Несколько важных предварительных замечаний	1
6.2. Гетероядерный двойной резонанс 13 C- $\{^{1}$ H $\}$	2
6.3. Химические сдвиги ядер ¹³ С	12
6.4. Константы спин-спинового взаимодействия J_{CH} и J_{CC}	20
$6.4.1.$ Экспериментальные методы измерения J_{CH}	20
6.4.2. Факторы, определяющие значения J_{CH}	27
6.5. Пример постановки сложной задачи в области ¹³ С-ЯМР и ее	
блестящего экспериментального решения	31
6.6. Пример решения структурной задачи	33

Спектроскопия ¹³С-ЯМР на природном содержании этого изотопа занимает второе по значимости место в решении структурных задач при исследовании органических соединений, несмотря на то, что ¹³С – ядро с низким природным содержанием (1,07%) и меньшим, чем у протона, магнитным моментом. Оба эти фактора приводят к тому, что, при прочих равных условиях, интенсивности сигналов в спектрах ¹³С-ЯМР на природном содержании ¹³С почти в 6000 раз меньше, чем в протонных спектрах. Однако технические проблемы, связанные с регистрацией этих спектров, были полностью решены с введением импульсной методики за счет накопления. В настоящее время этот вид ЯМР стал рутинным инструментом в органической и биоорганической химии.

6.1 .Несколько важных предварительных замечаний.

Прежде всего, заметим, что вероятность нахождения двух ядер 13 С в одной молекуле (для молекул малой и средней молекулярной массы) очень мала — всего 0,01%. Поэтому *любой спектр* 13 *С-ЯМР* — это сумма спектров разных молекул-изотопомеров. Вследствие этого в обычных спектрах 13 С-ЯМР не наблюдается констант спин-спинового взаимодействия 13 С- 13 С.

Как мы узнаем несколько позже, прямые КССВ ${}^{1}J_{13\text{C-1H}}$ достаточно велики по абсолютной величине (от 120 до 250 Γ ц), а КССВ ${}^{13}\text{C-}{}^{1}\text{H}$ через 2 и 3 связи сравнимы по величине с аналогичными протон-протонными константами. Поэтому в спектрах ${}^{13}\text{C-ЯМР}$ должно наблюдаться большое число расщеплений за счет взаимодействия этого ядра как с ближайшими, так и с удаленными протонами. Это дополнительно уменьшает пиковую

интенсивность сигнала и очень сильно затрудняет регистрацию спектра. В связи с этим рутинные спектры 13 С-ЯМР всегда записываются в условиях *полного гетероядерного двойного резонанса* 13 С- 1 H 3 .

Важно также иметь в виду, что времена релаксации для ядер углерода-13 значительно длиннее, чем времена релаксации протонов. В связи с этим при накоплении спектров 13 С необходимо использовать значительно более длинные задержки между импульсами, чем при регистрации спектров 1 Н-ЯМР. Основной механизм релаксации для ядер 13 С – диполь-дипольная релаксация за счет взаимодействия с соседними протонами. Поэтому T_{1} и T_{2} значительно короче для углеродов в группах 13 С С 13 и 14 С углеродов, не имеющих связанных с ними протонов. Для таких «четвертичных» углеродов 14 могут достигать сотен секунд! Мы уже знаем, что для того, чтобы система ядерных спинов пришла к термическому равновесию, при выполнении накопления необходимо вводить релаксационную задержку между импульсами порядка 14 С Ясно, что из практических соображений это правило нельзя выполнить для четвертичных углеродов. Это одна из двух причин, по которым в реальных спектрах интенсивности сигналов таких углеродов оказываются заниженными за счет эффекта насыщения.

6.2. Гетероядерный двойной резонанс ¹³C-{¹H}.

С гомоядерным двойным резонансом мы уже познакомились в предыдущей лекции, а пример гетероядерного двойного резонанса $^{1}\text{H-}\{^{14}\text{N}\}$ был показан лекции 4. Особенность проведения экспериментов по гетероядерному двойному резонансу $^{13}\text{C-}\{^{1}\text{H}\}$ состоит в том, что амплитуда радиочастотного поля для облучения протонов должна быть настолько большой, чтобы полностью перекрывался весь диапазон химических сдвигов ^{1}H . Такое облучение называют *широкополосным*. В современных спектрометрах эта задача решается с помощью специальных методов модуляции второго радиочастотного поля. Схема стандартного эксперимента по $^{13}\text{C-}\{^{1}\text{H}\}$ -ЯМР с *широкополосной развязкой* от протонов приведена на рис. 6.1. После релаксационной задержки (еще раз напомню, что для полной релаксации необходимо время $6T_I$) следует радиочастотный импульс на частоте ^{13}C . Угол поворота намагниченности θ , как мы знаем, обычно выбирается равным 90° . Облучение протонов осуществляется непрерывно.

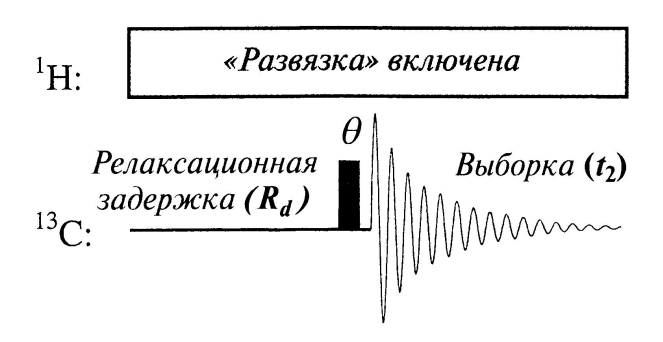


Рис. 6.1. Схема стандартного эксперимента 13 C- $\{^1$ H $\}$ -ЯМР с «*широкополосной развязкой*» от протонов.

Простой пример спектров 13 С- ЯМР и 13 С- 1 Н}- ЯМР представлен на рис. 6.2. Это спектры норборнана. В этом каркасном углеводороде 3 типа различных атомов углерода. На верхнем спектре «без развязки от протонов» мы видим два триплета и дублет за счет спин-спинового взаимодействия этих углеродов с непосредственно связанными с ними протонами. Дальние КССВ 13 С- 1 Н тоже проявляются как дополнительные расщепления (для С-7 и С-1,4) или как уширение (для С-2,3,5,6) линий. Заметим, что в верхнем спектре наблюдается перекрывание сигналов. Правая компонента триплета С(7) совпадает с левой компонентой сигнала С(1,6). А в условиях «широкополосной развязки от протонов» на нижнем спектре мы видим всего 3 синглета.

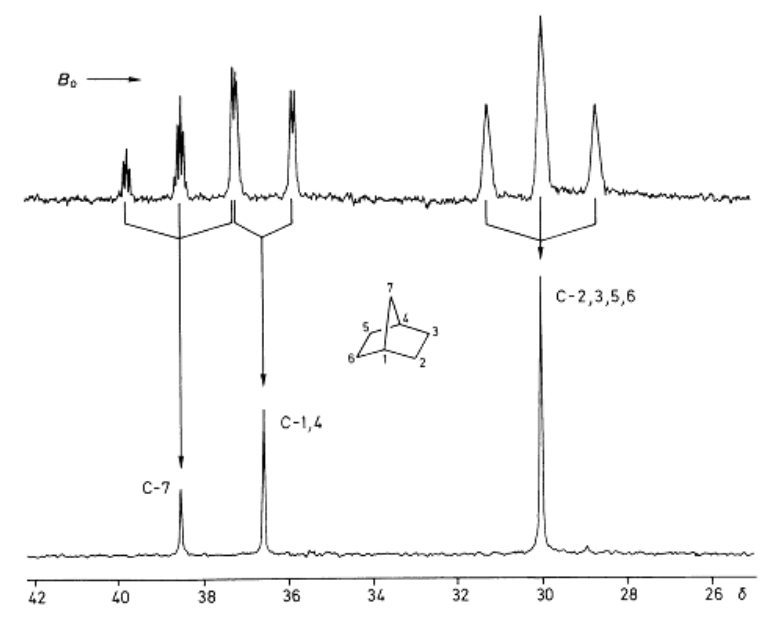


Рис. 6.2. Спектры 13 С-ЯМР и 13 С- $\{^{1}$ Н $\}$ -ЯМР норборнана.

А вот более сложный пример – спектры дифенилселенида (рис. 6.3). В спектре 13 С- 1 Н 1 -ЯМР мы видим, как и следовало ожидать, четыре сигнала, отнесение которых приведено на рисунке. В самом сильном поле находится сигнал С(4), который в спектре монорезонанса представляет собой дублет триплетов.

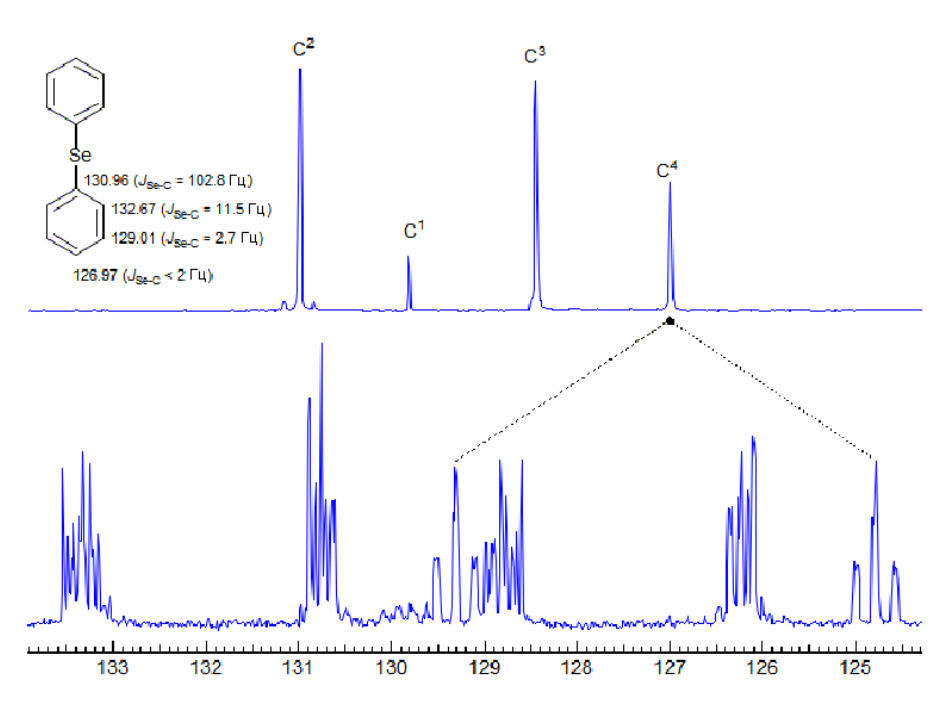


Рис. 6.3. Спектры 13 С-ЯМР (внизу) и 13 С- 1 Н 13 -ЯМР (вверху) дифенилселенида на частоте 25 МГ 11 .

Большое дублетное расщепление обусловлено спин-спиновым взаимодействием с протоном, непосредственно связанным с этим углеродом (${}^{1}J_{CH}\approx 125~\Gamma \mu$), а триплетное расщепление – спин-спиновым взаимодействием с двумя эквивалентными протонами при C(3) и C(5) (${}^{2}J_{CH}\approx 12,5~\Gamma \mu$). Спектр без развязки от протонов представляет собой X-часть спектра AA'BB'CX, поскольку протонный спектр дифенилселенида относится к типу AA'BB'C. Сигнал с химическим сдвигом 129,8 м.д. принадлежит *unco*-углероду C(1). Это тоже X-часть спектра AA'BB'CX. Но C(1) не имеет связанных с ним непосредственно протонов, поэтому интенсивность его сигнала понижена, поскольку при выбранной величине релаксационной задержки 4 сек проявляется эффект насыщения. В спектре монорезонанса этот сложный мультиплет, компоненты которого еле видны над уровнем шумов, обусловлен спин-спиновыми взаимодействиями C(1) с удаленными протонами через 2, 3 и 4 связи. Два других сигнала при 128,3 м.д. (C(3,5)) и 130,8 м.д. (C(2,6)) имеют «в неразвязанном спектре» сложную структуру. Это дублеты мультиплетов не первого порядка. Это и не удивительно, поскольку они представляют собой X-части ABCDEX-спектров.

В спектре двойного резонанса пиковые интенсивности сигналов резко возросли за счет исчезновения мультиплетности. Дополнительный почти двукратный выигрыш был получен за счет *ядерного эффекта Оверхаузера*, который мы подробно рассматривали в разделе 5.1.3 лекции 5. Основным механизмом спин-решеточной релаксации ядер

углерода-13, как я уже говорил, является диполь-дипольное взаимодействие с протонами. При быстром молекулярном движении (условие предельного сужения) и чисто дипольдипольном механизме релаксации отношение интенсивности сигнала ядра 13 С, при облучении протона непосредственно связанного с ним (I^*), к интенсивности того же сигнала в отсутствие облучения (I_0), задается выражением (6.1):

$$I*/I_0 = 1 + 0.5 \gamma_H/\gamma_C = 1 + 1.99 = 2.99$$
 (6.1)

Вот перед вами эксперимент, который подтверждает такое значение ЯЭО. На рис. 6.4 показаны спектры 13 С-ЯМР и 13 С- $\{^{1}$ Н $\}$ -ЯМР муравьиной кислоты, меченной изотопом 13 С. На нижнем спектре 13 С-ЯМР суммарная интегральная интенсивность двух линий дублета принята за 1. Интенсивность синглета в спектре 13 С- $\{^{1}$ Н $\}$ -ЯМР, как мы видим по интегральной кривой, действительно составила 2,98.

Однако максимальное значение ЯЭО достигается только в том случае, если нет вкладов других механизмов релаксации. Например, в спектрах квадрупольных ядер, таких как ¹¹B, ¹⁴C, ²H, практически отсутствует ЯЭО, поскольку для них релаксация осуществляется по квадрупольному механизму. Практически не наблюдается ЯЭО и в спектрах ЯМР таких ядер, которые имеют большую анизотропию химического сдвига (см. раздел 2.2 в лекции 2). К их числу относятся ¹⁹⁹Hg, ⁷⁷Se, ¹⁹⁵Pt и другие. Для них основной является релаксация, обусловленная анизотропией химического сдвига.

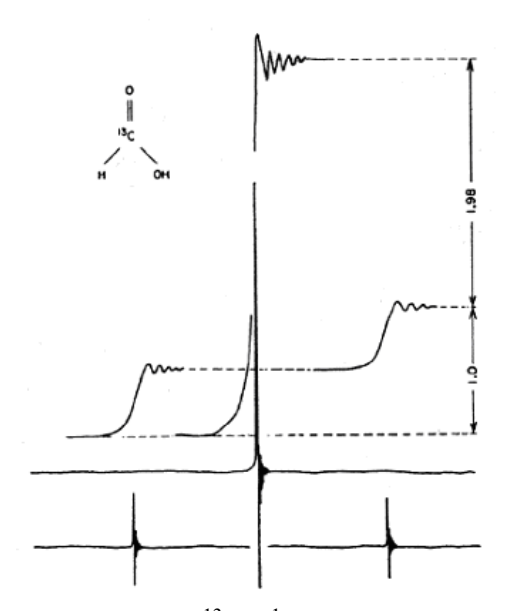


Рис. 6.4. Спектры 13 С-ЯМР (внизу) и 13 С- $\{^{1}$ Н $\}$ -ЯМР муравьиной кислоты, меченой изотопом 13 С (Н 13 СООН), с интегральными кривыми.

Детальный анализ спектра дифенилселенида на рис. 6.3, к которому мы теперь еще раз вернемся, позволяет отметить одну важную особенность. Селен имеет изотоп 77 Se со спином 1/2 и природным содержанием 7,6%. Поэтому в спектре с развязкой от протонов удается увидеть спутники, обусловленные спин-спиновым взаимодействием 13 C- 77 Se, которые расположены симметрично относительно основных сигналов на расстояниях, равных половине соответствующей гетероядерной КССВ. Для C(1) $^{1}J_{CSe} = 102,8$ Гц. Для сигнала C(2,6) спутники отчетливо видны $^{2}J_{CSe} = 11,5$ Гц, для сигнала C(3,5) $^{3}J_{CSe} = 2,7$ Гц, и спутники просматриваются лишь как две ступеньки справа и слева на пьедестале основного сигнала. Для C(4) спутников не удается увидеть, поскольку $^{4}J_{CSe} < 2$ Гц.

Итак, двойной резонанс 13 C- 1 H 3 был избран нами как средство для повышения соотношения сигнал/шум в спектрах этого ядра на его природном содержании. Эта цель была достигнута, но за это пришлось заплатить дорогую цену: в спектрах гетероядерного двойного резонанса 13 C- 1 H 3 при широкополосной развязке теряется вся информация о КССВ 13 C- 1 H, а интенсивности резонансных сигналов более нельзя сравнивать и использовать для определения числа ядер углерода данного типа. Они искажены вследствие того, что значения ЯЭО и времена релаксации разных ядер сильно различаются.

Потерянная информация исключительно ценна, а поэтому сразу начались поиски методик, которые позволили бы вернуть ее, хотя бы частично. Для отнесения сигналов в спектрах 13 С-ЯМР очень важно знать, сколько атомов водорода непосредственно связано с каждым из углеродов. Получить эту информацию можно довольно просто. Сначала записывают спектр с полной развязкой, а затем частоту облучения протонов слегка смещают от положения резонанса. На рис. 6.5 показано, как влияет величина «расстройки» от положения резонанса радиочастотного поля при облучении протонов на форму сигнала CH_3 -группы в спектре ^{13}C - $^{1}H^{3}$ -ЯМР метилйодида.

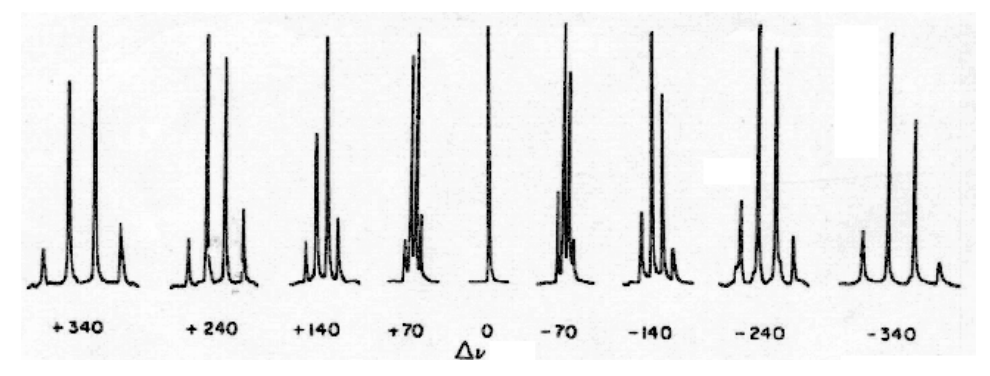


Рис. 6.5. Спектры 13 С- $\{^1$ Н $\}$ -ЯМР метилйодида при различных значениях расстройки Δv (в Γ ц) радиочастотного поля $\{^1$ Н $\}$ от резонанса.

При таком «внерезонансном» облучении (*«off resonance decoupling»*) происходит лишь частичный коллапс мультиплетов. Исчезают расщепления, обусловленные малыми по модулю дальними КССВ 13 С- 1 Н, а мультиплетность, обусловленная большими прямыми КССВ 1 J_{CH} при этом сохраняется, и вместе с ней сохраняется также эффект Оверхаузера. Сигналы метильных групп при этом выглядят как квадруплеты, сигналы групп CH_2 – как триплеты, а сигналы групп CH – как дублеты. Синглетными остаются только сигналы «четвертичных углеродов», которые не несут связанных с ними непосредственно протонов. В качестве примера на рис. 6.6 показан спектр 13 C- 1 H 1 -ЯМР камфоры (а), а также ее спектр с внерезонансным облучением (б) и спектр INEPT (в), о котором я расскажу немного позже.

На рис. 6.6а приведена только высокопольная часть спектра. В ней присутствуют сигналы всех атомов углерода, кроме углерода карбонила, который лежит в очень слабом поле при 219,3 м.д. В спектре с внерезонансным облучением (б) отчетливо различаем квадруплетную структуру сигналов углеродов метильных групп, триплеты двух из трех метиленовых углеродов, но наблюдается перекрывание дублета C(5) и триплета C(4). Синглетными остаются только сигнал четвертичного C(3) и сигнал карбонильного углерода C(1), который на спектре не показан.

В спектре, записанном с использованием импульсной последовательности INEPT («insensitive nuclei enhanced polarization transfer») разобраться гораздо легче. Все сигналы в нем синглеты, но для групп СН₃ и СН амплитуды их положительны, а для групп СН₂ – отрицательны. Метод с внерезонансным облучением сейчас используется только в рутинных экспериментах и относительно редко, поскольку при изучении сложных молекул перекрывание мультиплетов бывает столь сильным, что интерпретация почти **INEPT** невозможна. Помимо методики широко применяется импульсная последовательность **DEPT** («distortionless enhancement by polarization transfer») С ее помощью в двух экспериментах удается разделить сигналы всех типов углеродов в молекуле. В этих экспериментах интегральные интенсивности сигналов существенно увеличиваются за счет селективного переноса поляризации, который мы уже разбирали в разделе 5.1.4 предыдущей лекции, посвященном двойному резонансу. Вследствие этого удается существенно сократить время накопления таких спектров. Мы детально познакомимся с многоимпульсными последовательностями, которые применяются в этих методах «редактирования спектров» во второй части этого курса.

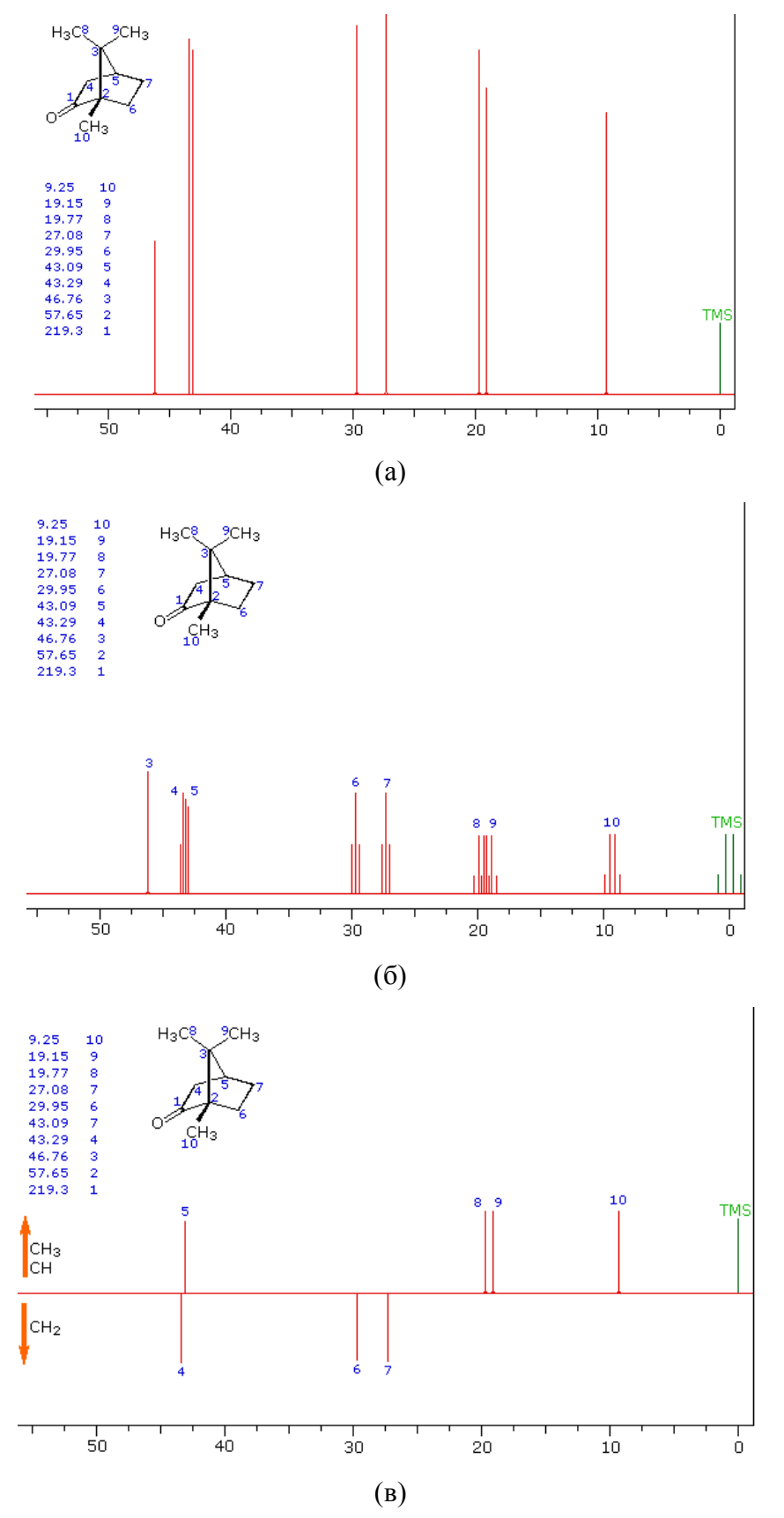


Рис. 6.6. Спектры 13 С-ЯМР камфоры: а) спектр 13 С- $\{^{1}$ H $\}$ -ЯМР; б) спектр 13 С- $\{^{1}$ H $\}$ -ЯМР с внерезонансным облучением протонов; в) спектр INEPT.

Здесь же я привожу как пример использования последовательности DEPT спектры $^{13}\text{C-}\{^1\text{H}\}$ -ЯМР 2,7-диметилоктин-3-ола-5 на рис. 6.7. Полный спектр $^{13}\text{C-}\{^1\text{H}\}$ -ЯМР этого соединения представлен внизу. Сразу отметим присутствие в нем двух малоинтенсивных (опять насыщение!) сигналов четвертичных углеродов C(3) и C(4). Использование варианта последовательности DEPT-135 позволяет сразу выявить сигналы всех углеродных атомов, несущих протоны. При этом, как и в спектре INEPT, сигналы групп CH₃ и CH имеют положительную амплитуду, а сигналы групп CH₂ — отрицательную (средний спектр). Но в дополнение к этому последовательность DEPT-90 позволяет выделить только сигналы групп CH (верхний спектр).

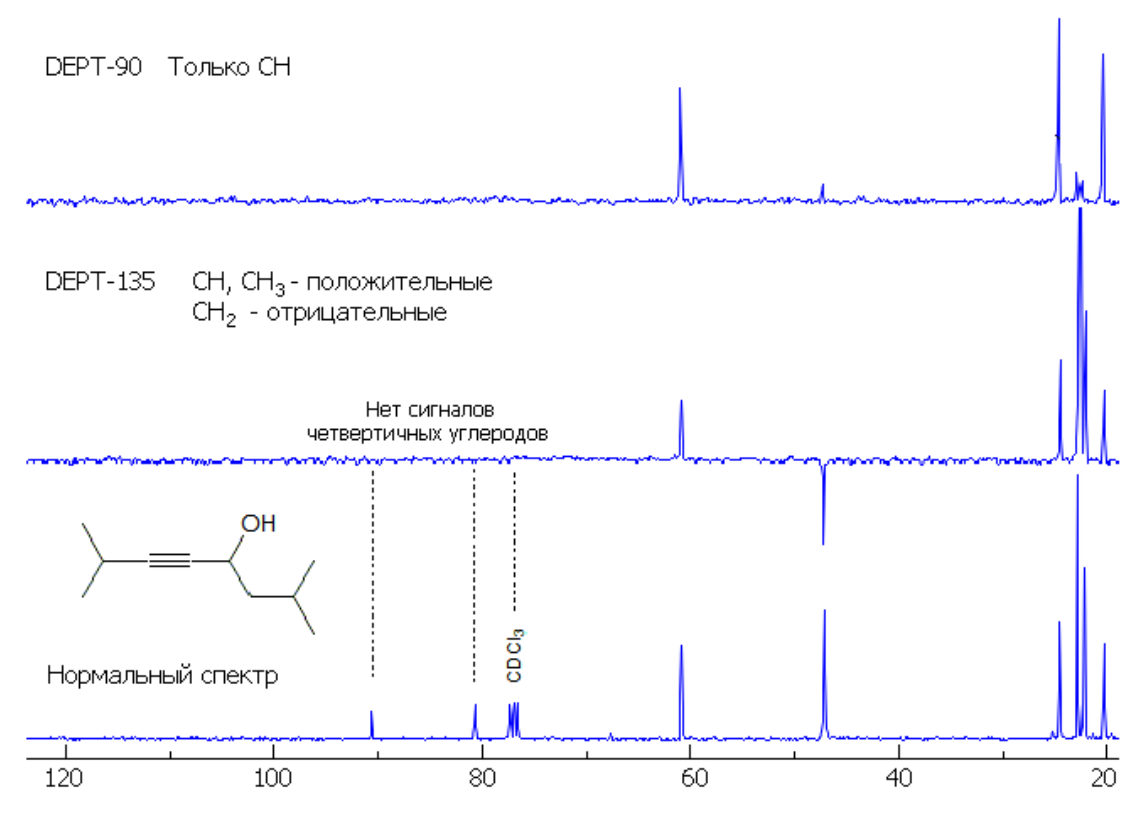


Рис. 6.7. Спектры 2,7-диметилоктин-3-ола-5: внизу —полный спектр 13 C- 1 H}-ЯМР; в середине - спектр DEPT-135; верхний спектр - DEPT-90.

При решении сложных структурных задач нередко возникает необходимость иметь точные значения констант спин-спинового взаимодействия J_{CH} . Их можно определить, записав спектр 13 С-ЯМР без развязки от протонов, что требует очень большого времени для накопления. Временные затраты можно было бы сократить в 4 раза, если использовать такую методику двойного резонанса, в которой сохраняется неискаженной спиновая мультиплетность, но присутствует также и ЯЭО. И такая методика существует. В ней используется следующее важное свойство системы ядерных спинов. При ее возбуждении вторым радиочастотным полем, как мы уже знаем, возникает спиновая когерентность —

происходит перераспределение населенностей всех уровней, которые имеют общие переходы с облучаемыми переходами. Эти новые населенности после выключения возбуждающего поля сохраняются в течение времени релаксации T_1 . Вместе с тем спиновая мультиплетность сигналов, обусловленная взаимодействием облучаемого ядра с другими ядрами, которая исчезла при включении второго поля, восстанавливается сразу же после его выключения. Это свойство и положено в основу эксперимента, который получил название «gated decoupling», что можно перевести как «прерываемая развязка». Его схема представлена на рис. 6.8. Здесь «развязка» от протонов включается только в период релаксационной задержки, но выключается на период выборки ССИ.

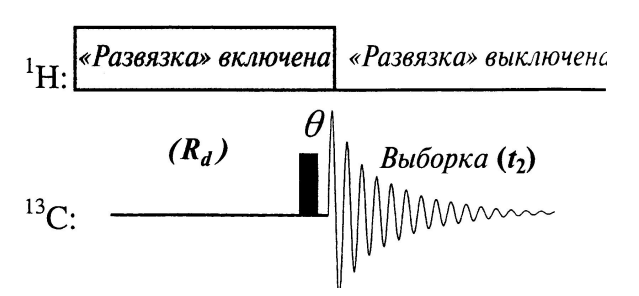


Рис. 6.8. Схема эксперимента 13 C- $\{^{1}$ H $\}$ -ЯМР с «прерываемой широкополосной развязкой» от протонов.

В качестве примера эффективности этого метода на рис. 6.9 показан спектр 13 С- 1 Н}-ЯМР этилбензола, который разбит на три фрагмента. В сильном поле (фрагмент (a)) мы видим квадруплет метильного углерода и триплет группы CH_2 с дополнительными расщеплениями за счет 2 J_{CH} . Область спектра, включающая все сигналы бензольного кольца, в том числе сигнал unco- C_1 показана на среднем фрагменте (σ), а внизу в более детальном масштабе даны сигналы всех других групп CH (фрагмент (σ)).

А вот для количественного анализа с помощью ¹³C-{¹H}-ЯМР необходимо использовать метод, который бы позволял подавить спиновую мультиплетность, но при этом избавиться от ЯЭО. Тогда можно получить правильные интенсивности сигналов в спектре, точно отвечающие соотношению соответствующих ядер в молекуле, но сохранить выигрыш в пиковой интенсивности за счет подавления мультиплетности. Этого можно достичь, используя методику двойного резонанса с «инвертированной прерываемой широкополосной развязкой» (рис. 6.10). В нем, в отличие от предыдущего случая, развязку от протонов включают только на период выборки ССИ. Спиновая мультиплетность при этом мгновенно убирается, а ЯЭО не успевает проявиться.

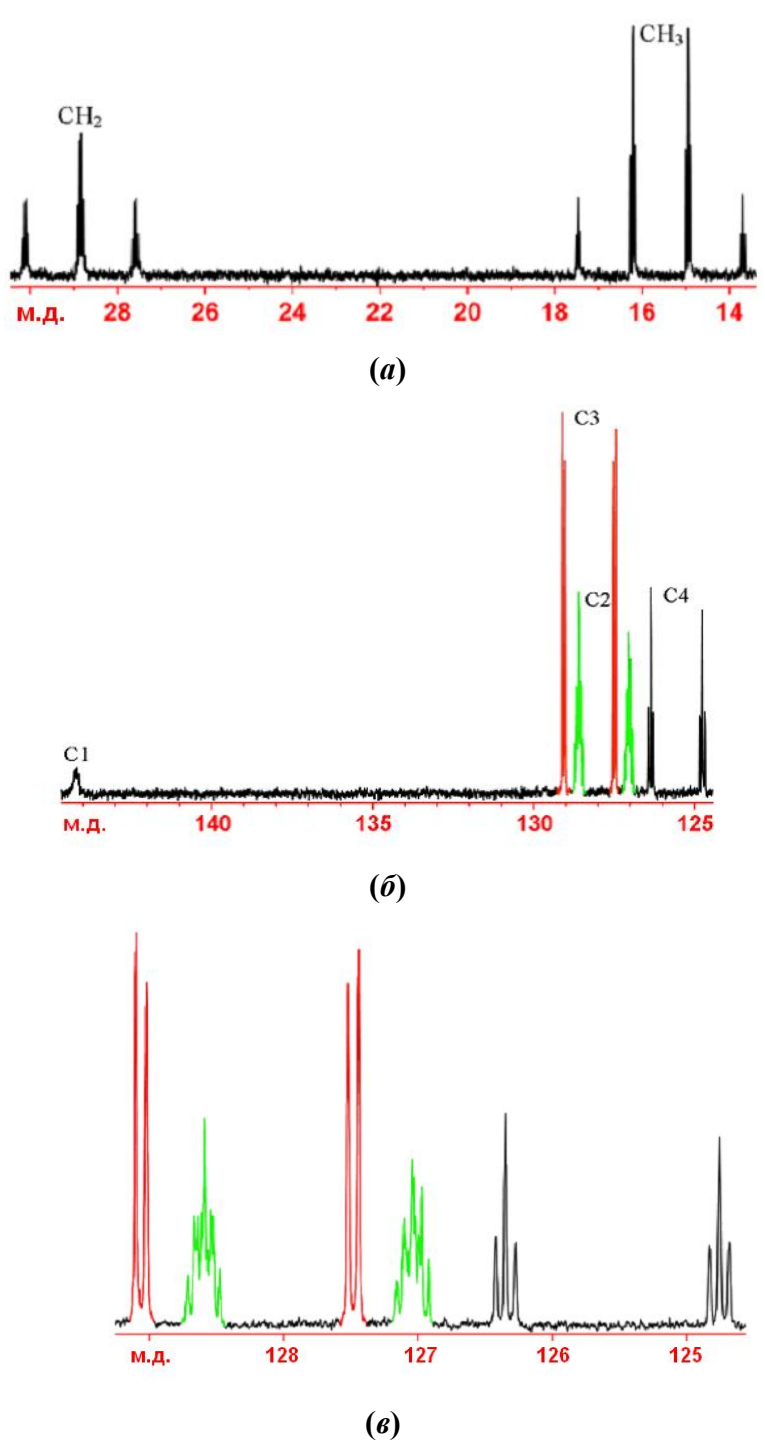


Рис. 6.9. Спектры 13 C- $\{^{1}$ H $\}$ -ЯМР этилбензола, записанные с «*прерываемой широкополосной развязкой*» от протонов (объяснения в тексте).

Однако при осуществлении таких экспериментов не забывайте еще об одном препятствии – о слишком длинных временах релаксации углерода и, прежде всего, о временах релаксации четвертичных углеродов, которые могут достигать нескольких десятков секунд. Чтобы получить правильные интенсивности в этом случае нужно делать при накоплении задержки между импульсами в несколько минут (требование $6T_I$)!

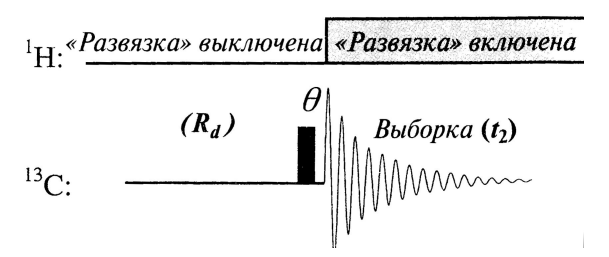


Рис. 6.10. Схема эксперимента 13 C- $\{^{1}$ H $\}$ -ЯМР с «*инвертированной прерываемой широкополосной развязкой*» от протонов.

Сократить это время можно, если добавить в раствор небольшое количество (5 - 10 мг на 1 мл раствора) «релаксанта». Чаще всего для этой цели используют парамагнитный ацетилацетонат хрома Cr(acac)₃. Он инертен и хорошо растворим в полярных органических растворителях. Он снижает вклад диполь-дипольного механизма в релаксацию и углеродов, несущих протоны, что подавляет ЯЭО. Конечно, как Вы уже знаете, это приведет к уширению резонансных линий, но при больших диапазонах химических сдвигов углерода этот не наносит большого вреда.

Итак, можно сделать вывод о том, что регистрация спектров ¹³С-ЯМР – значительно более сложная и длительная процедура, но затраты здесь с лихвой окупаются огромным объемом структурной информации, которая содержится в них.

6.3. Химические сдвиги ядер ¹³С.

На рис. 6.11 приведена диаграмма химических сдвигов ядер ¹³С в основных классах органических соединений. Мы видим, что диапазон изменения химических сдвигов примерно в 30 раз больше, чем для протонов. (В действительности, полная шкала экранирования ядер ¹³С превышает 650 м.д.). Это, безусловно, очень важный факт. Все структурные факторы в химических сдвигах углерода прослеживаются более отчетливо, чем в протонных сдвигах. Сравнивая эту диаграмму с диаграммой протонных химических сдвигов (рис. 3.4 в лекции 3), можем с удовлетворением отметить, что, несмотря на принципиально отличную природу экранирования (для ¹³С, как и для других тяжелых ядер, доминирующим является парамагнитный вклад) наблюдается симбатность химических сдвигов ¹³С и ¹Н в изоструктурных фрагментах.

Обратите внимание на то, что влияние электронной плотности прослеживается отчетливо: уменьшение электронной плотности ведет к сдвигу в слабое поле. В этом отношении особенно показательны данные по экранированию ¹³С в карбениевых ионах (табл. 6.1).

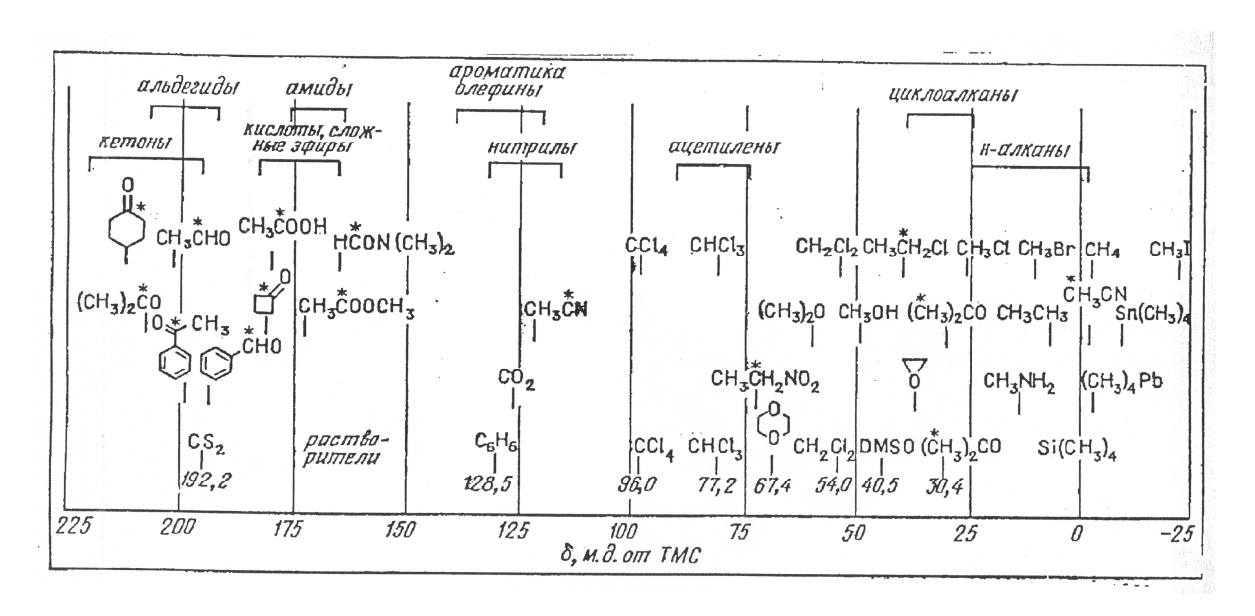


Рис. 6.11. Диаграмма химических сдвигов ядер ¹³C в основных классах органических соединений.

Эти данные получены Нобелевским лауреатом Джорджем Ола (Нобелевская премия по химии 1994 г «За вклад в химию карбокатионов»). Он разработал методики генерирования этих высоко реакционноспособных частиц в суперкислых средах и использовал ЯМР при низких температурах как основной метод их изучения.



Джордж Ола (род. 22 мая 1927 г.)

Я не буду здесь комментировать эти очень интересные результаты, предоставляя вам возможность обдумать их самостоятельно. Обратите при этом особое внимание на два кажущихся аномальными факта. Первый: при переходе от *тет.*-бутильного катиона к изопропильному сигнал карбениевого углерода смещается в сильное (!) поле, а сигнал углеродов метильных групп - в слабое. Второй: замена одной метильной группы в

кумильном карбокатионе $C_6H_5C^+(CH_3)_2$ на фенил приводит к ожидаемому сильнопольному сдвигу, но при второй такой замене наблюдается слабопольный сдвиг.

	Химические сдвиги δ м.д.			
Структура	Карбениевый ¹³ С ⁺	¹³ CH ₃		
$(CH_3)_3C^+$	328	47		
$(CH_3)_2\mathbf{C}^+H$	318	60		
$(CH_3)_2$ $C^+C_2H_5$	332	43		
$(CH_3)_2$ \mathbf{C}^+ (цикло- C_3H_5)	280	27		
$C_6H_5C^+(CH_3)_2$	254			
$(C_6H_5)_2\mathbf{C}^+CH_3$	198			
$(C_6H_5)_3C^+$	211			

Таблица 6.1. Химические сдвиги ядер¹³С в карбениевых ионах.

Если влияние электронной плотности на химические сдвиги ¹³С выражено более отчетливо, чем на химические сдвиги протонов, то влияние магнитной анизотропии соседних атомов и групп, наоборот, проявляется не столь ясно. Поэтому резонансные сигналы олефиновых и ароматических углеродов здесь лежат в одной области. Полагаю, что и эту особенность Вы сможете легко объяснить, если проанализируете ее с позиций, использованных нами в разделе 3.1.1.1. лекции 3.

Обращаю Ваше внимание также на положение резонансного сигнала метилйодида в очень сильном поле. Это вновь проявление эффекта «тяжелого атома», который мы уже рассматривали.

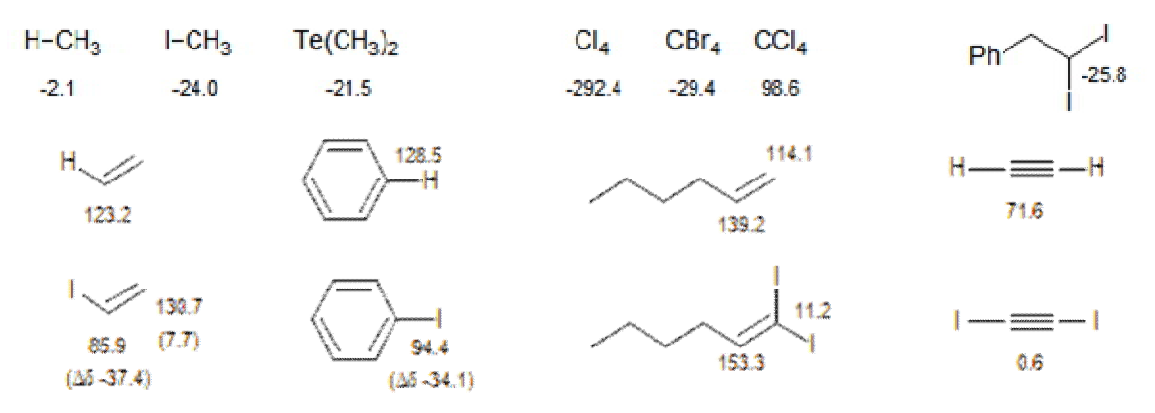


Рис. 6.12. Эффекты тяжелых атомов (йода, брома и теллура) на экранирование углерода-13 в разных молекулах.

На рис. 6.12 показано еще несколько таких примеров. Мы видим, что этот эффект проявляется для углеродов всех типов гибридизации. Обратите внимание на

исключительно большой сильнопольный сдвиг ¹³С в четырехйодистом углероде (-292,4 м.д.!).

Эффекты замещения проявляются в экранировании углерода более ярко, чем в экранировании протонов. Как и для протонных химических сдвигов, для сдвигов углерода хорошо выполняются соотношения аддитивности, и разработано несколько эмпирических схем для расчета сдвигов 13С по инкрементам заместителей в алканах, алкенах и в бензольном ряду. Но в этих эффектах связь сдвигов с электронными параметрами заместителей прослеживается не так ясно, как для протонных химических сдвигов. В самом деле, обратимся сначала к алифатическому ряду. В табл. 6.2 представлены наборы инкрементов для расчета химических сдвигов в открытых цепях (алканы и алкены). Легко видеть, что при насыщенном атоме углерода любой заместитель, кроме уже упомянутых тяжелых атомов, вызывает большой сдвиг а-углерода в слабое поле. В целом величина этого сдвига растет с увеличением электроотрицательности ключевого атома заместителя. Все без исключения заместители дают диамагнитный сдвиг у-углеродов. При этом в циклах он существенно зависит от стереохимии. Вот характерные примеры проявления уэффекта в трет.бутилциклогексанах (рис. 6.13). Геометрии этих молекул строго фиксированы – трет.бутильные группы, выполняющие роль конформационного якоря, всегда находятся в экваториальном положении. Легко видеть, что заместитель из трансположения к у-углероду вызывает значительно меньший диамагнитный сдвиг, чем из цисположения. Эта закономерность носит общий характер, и она часто используется при решении стереохимических задач.

Рис. 6.13. Примеры проявления α - и γ -эффектов в экранировании углеродов в замещенных *трет* бутилциклогексанах.

Таблица 6.2. Инкременты заместителей (δ м.д.) для расчета химических сдвигов 13 С в алканах и алкенах по аддитивной схеме.

	AJ	тканы, полож	Алкены, положения		
Заместитель	α	β	γ	α	β
F	70,1	7,8	-6.8	24,9	-34,3
Cl	31,0	10,0	-5,1	2,6	-6,1
Br	18,9	11,0	-3,8	-7,9	-1,4
I	-7,2	10,9	-1,5	-38,5	7,0
OR	49,0	10,1	-6,2	29,4	-38,9
OCOMe	52,0	6,5	-6,0	18,2	-27,1
NR_2	28,3	-11,3	-5,1		
NO_2	61,6	3,1	-4,6	22,3	-0,9
CN	3,1	2,4	-3,3	-15	15
СООН	20,1	2,0	-2,8	4,2	8,9
СНО	29,9	-0,6	-2,7	13,6	13,2
CH=CH ₂	21,5	6,9	-2,1	14,8	-5,8
C≡C	4,4	5,6	-3,4		
Ph	22,1	9,3	-2,6	12,5	-11,0
Me	9.1	9,4	-2,5	12,9	-7,4

Ситуация в бензольном ряду несколько иная (табл. 6.3). Сдвиги сигналов *ипсо*углеродов в сильное поле здесь проявляются не только для тяжелых атомов, но также для
групп CN и C≡C. Здесь трудно усмотреть какую-либо корреляцию с электронными
параметрами заместителей. Не видно ясных закономерностей и в сдвигах *орто*-углеродов.
Сдвиги *мета*-углеродов меняются в целом мало. Зато для *пара*-углеродов прослеживается
отчетливая корреляция с электронными параметрами заместителя. Это еще более
наглядно представлено на рис. 6.14.

Рис. 6.14. Эффекты замещения в бензольном ядре. Сдвиги приведены в м.д. от сигнала бензола (128,5 м.д.).

Таблица 6.3. Инкременты заместителей (δ м.д.) для расчета химических сдвигов 13 С в замещенных бензолах по аддитивной схеме.

	Положения					
Заместитель	unco	орто	мета	napa		
F	35,1	-14,3	0,9	-4,4		
Cl	6,4	0,2	1,0	-2,0		
Br	-5,4	3,3	2,2	-1,0		
Ι	-32,3	9,9	2,6	-0,4		
OR	30,2	-14,7	0,9	-8,1		
OCOMe	23	-6	1	-2,3		
NR ₂	22,4	-15,7	0,8	-11,8		
NO ₂	19,6	-5,3	0,8	6,0		
CN	-16,0	3,5	0,7	4,3		
СООН	2,4	1,6	-0,1	4,8		
СНО	9,0	1,2	1,2	5,8		
CH=CH ₂	7,6	-1,8	-1,8	-3,5		
C≡C	-6,1	3,8	0,4	-0,2		
Ph	13,0	-1,1	0,5	-1,0		
Me	9,3	0,6	0	-3,3		

Эффекты введения в молекулу двойной связи в существенной степени зависят от типа структуры, в которую она встраивается. Для примера на рис. 6.15 показаны изменения в химических сдвигах углеродов при введении двойной связи в нормальную углеводородную цепь (октан), а на рис. 6.16 — при ее встраивании в циклы разного размера. Сразу бросается в глаза тот факт, что *транс*-двойная связь в цепочке дает слабопольный сдвиг на соседних углеродах, а *цис*-двойная связь — сильнопольный, что можно рассматривать как отчетливое проявление пространственного у —эффекта.

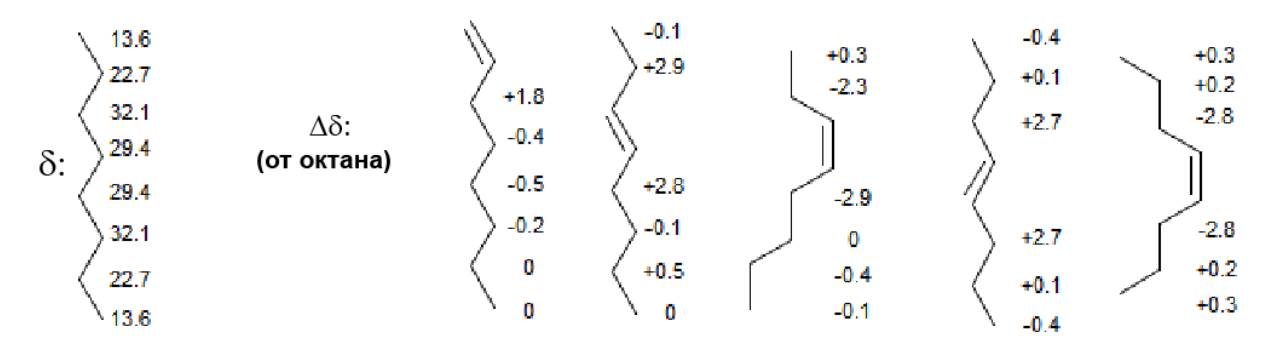


Рис. 6.15. Изменения химических сдвигов углеродов в молекуле октана при введении двойной связи.

При введении в трехчленный, четырехчленный и пятичленный циклы, двойная связь приводит к слабопольному смещению сигналов α-углеродов. А вот в шести- и семичленных циклах наблюдается эффект противоположного знака. Экзоциклическая двойная связь всегда дает заметный слабопольный сдвиг.

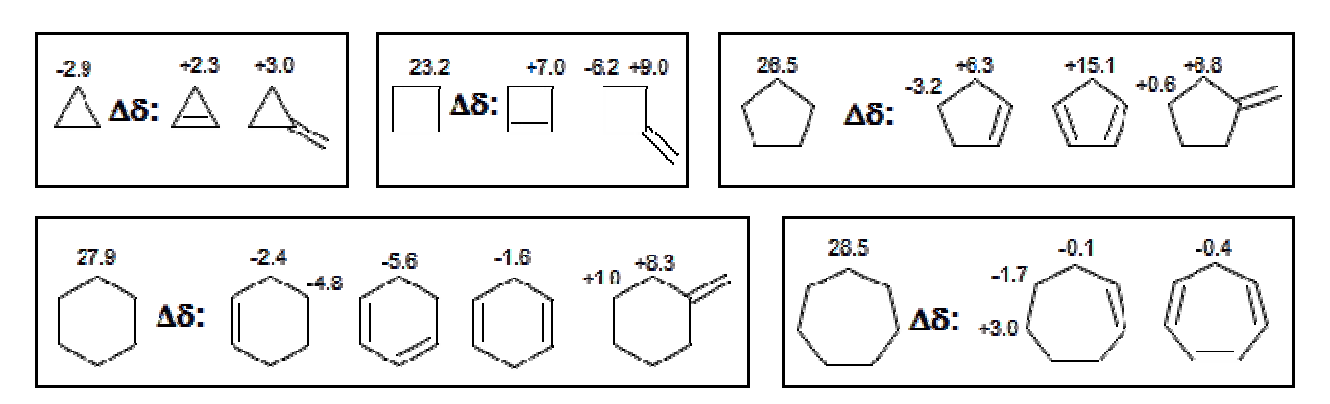


Рис. 6.16. Изменения химических сдвигов углеродов в циклических молекулах при введении двойной связи.

Эффекты сопряжения двойной связи проявляются на химических сдвигах олефиновых углеродов отчетливо, что иллюстрируют данные на рис. 6.17. Сопряжение с карбонилом приводит к небольшому слабопольному смещению для α -углеродов, но значительному для β -углеродов, что с химической точки зрения вполне понятно. Перераспределение электронной плотности в молекуле в этом случае, как мы знаем, хорошо описывается значительным вкладом резонансной структуры \mathbf{F} для α , β -непредельных соединений.

Рис. 6.18. Влияние эффектов сопряжения на экранирование олефиновых углеродов.

Напротив, введение донорного заместителя с неподеленными электронными парами вызывает сильный слабопольный сдвиг сигналов α -углеродов и сильный диамагнитный сдвиг β -углеродов, что с химической точки зрения также совершенно понятно.

В самом слабом поле в спектрах ¹³С-ЯМР расположены сигналы карбонильных групп, положение которых весьма характеристично. Представительная подборка значений химических сдвигов дана на рис. 6.19.

Из этих данных ясно видно, что группы с неподеленными парами, обладающие мощным мезомерным эффектом, при введении к карбонилу вызывают сильный диамагнитный сдвиг.

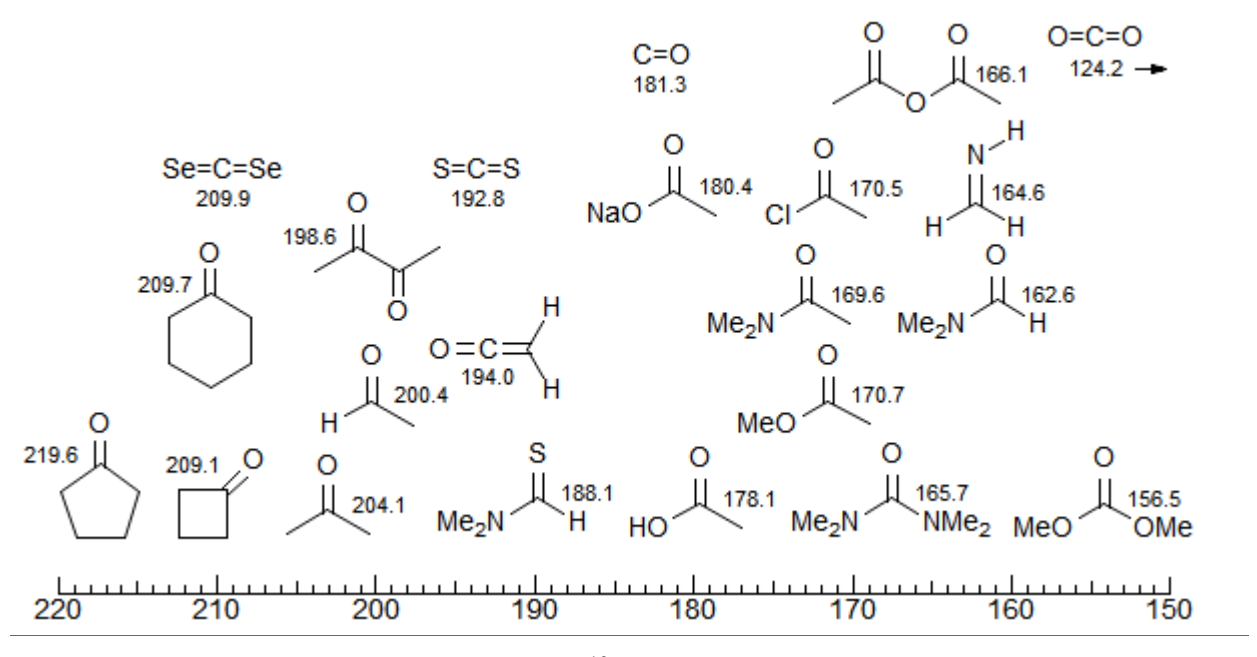


Рис. 6.19. Химические сдвиги ¹³С-ЯМР карбонильных групп в различных соединениях.

Опытный исследователь всегда надежно определит тип карбонильного соединения по химическому сдвигу карбонила. Сопряжение карбонила с двойной связью или

ароматическим кольцом вызывает дополнительный диамагнитный сдвиг (рис. 6.20). Но если появляются стерические взаимодействия, препятствующие сопряжению, сигнал снова смещается в слабое поле.

Рис. 6.20. Влияние сопряжения с двойной связью и бензольным кольцом на химические сдвиги карбонильного углерода в органических молекулах.

Приведенные данные по значениям химических сдвигов углерода-13 показывают, что эти значения содержат исключительно ценную структурную информацию. Немного позже я приведу несколько примеров ее использования.

6.4. Константы спин-спинового взаимодействия J_{CH} и J_{CC} . 6.4.1.Экспериментальные методы измерения J_{CH} .

Как ясно из предшествующего изложения, получить информацию о КССВ J_{CH} и J_{CC} из спектров 13 С-ЯМР при природном содержании значительно труднее, чем о J_{HH} из протонных спектров. Поэтому на первых этапах развития ЯМР для измерения этих констант чаще всего использовали специально синтезированные молекулы, обогащенные изотопом 13 С. Вот один из первых примеров, который я взял из работы Грэхэма 1963 г. (Can.J.Chem., 1963, 41, 2114). В ней авторы, исходя их $Ba^{13}CO_3$ (это стандартный источник изотопа 13 С для синтеза изотопно меченых органических молекул) в несколько стадий синтезировали ацетилен, этилен и этан с высоким обогащением по 13 С и измерили спектры 13 С-ЯМР и 1 Н-ЯМР этих простых веществ в виде чистых жидкостей при низкой температуре. На рис. 6.21 показан спектр 13 С-ЯМР меченого ацетилена на частоте 15 МГц.

Легко видеть, что это суперпозиция спектров двух изотопомеров – H-C \equiv ¹³C-H и H- ^{13}C \equiv ¹³C-H. Введение изотопной метки в молекулу ацетилена делает ее асимметричной. Поэтому спектр H-C \equiv ¹³C-H относится к типу ABX, и на рис. 6.21 мы видим X-часть этого спектра, содержащего 4 линии (средний спектр). Спектр дважды меченого ацетилена H-G \equiv G \oplus G \oplus

Таблица 6.4. Константы спин-спинового взаимодействия в молекулах ацетилена, этилена и этана, полученные из анализа спектров 13 С- и 1 Н-ЯМР изотопно обогащенных молекул H-С \equiv 13 С-H и H- 13 С \equiv 13 С-H (в Γ ц).

Соединение	$^{I}J_{CC}$	$^{I}J_{CH}$	$^2J_{CH}$	J_{HH}
ацетилен	170,6	248,7	49,7	$^{3}J_{HH} = 9.8$
этилен	67,24	156,2	-2,4	$^{2}J_{HH}$ =2,2; $^{3}J_{\text{цис}}$ = 11,5;
				${}^{3}J_{\text{транс}} = 19,1$
этан	34,64	125,0	-4,8	$^{3}J_{HH} = 8.0$

Многостадийный химический синтез изотопно меченых молекул — занятие очень трудоемкое, однако меченые 13 С и 15 N биомолекулы (белки и нуклеиновые кислоты) с большими молекулярными массами можно получить более экономными методами биоинженерии, выращивая бактерии-продуценты на специальных средах, содержащих меченые изотопом 15 N.

В XX'- части AA'XX' спектра $H^{-13}C \equiv ^{13}C^{-1}H$ должно быть 10 линий, но в экспериментальном спектре видны только 8. Это связано с тем, что две центральные линии спектра в действительности являются дублетами. Расстояние между линиями этих дублетов так мало, что они сливаются.

Очень важным источником знаний о КССВ J_{CH} на начальном этапе развития спектроскопии ЯМР была также регистрация сателлитов $^{13}\text{C-}^{1}\text{H}$ в спектрах $^{1}\text{H-}$ ЯМР относительно простых молекул. Рассмотрим в качестве простейшего примера спектр $^{1}\text{H-}$ ЯМР хлороформа (рис. 6.22). Уже хорошо знакомый нам интенсивный синглет с химическим сдвигом 7,27 м.д. в нем принадлежит изотопомеру $^{12}\text{CHCl}_{3}$. Однако кроме него в природной смеси присутствует еще 1,07% изотопомера $^{13}\text{CHCl}_{3}$. Его протонный сигнал (А-часть АХ спектра) представляет собой дублет с расщеплением, равным $^{1}J_{CH}$. Оба компонента его с интенсивностями около 0,5% от интенсивности основного сигнала

симметрично расположены по обе стороны от него, и мы легко обнаруживаем их, если спектр записан с хорошим соотношением сигнал/шум. Обратите также внимание на то, что в этом спектре присутствуют еще два симметрично расположенных спутника, которые представляют собой «боковые линии от вращения образца».

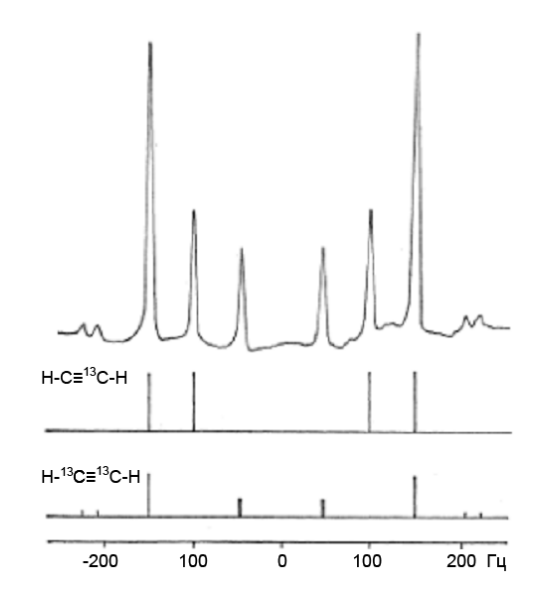


Рис. 6.21. Спектр ¹³С-ЯМР ацетилена (15 МГц), обогащенного изотопом ¹³С, записанный для жидкого вещества при -70 С. Экспериментальный спектр (показан вверху) представляет собой суперпозицию спектров двух изотопомеров H-C≡¹³C-H и H-¹³C≡¹³C-H. Разложение на компоненты дано ниже.

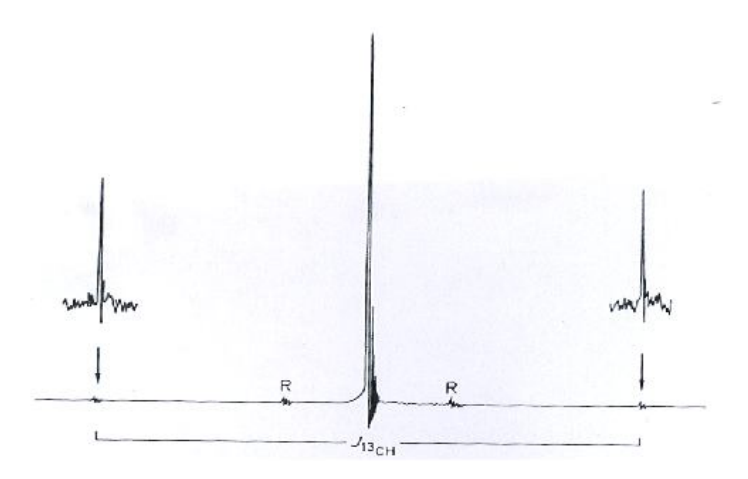


Рис. 6.22. Спектр 1 Н-ЯМР хлороформа с сателлитами 13 С- 1 Н. Буквами **R** помечены боковые сигналы от вращения.

Как Вы помните, для усреднения неоднородности поля B_{θ} в плоскости xy ампулу с образцом в магните обычно вращают вокруг оси z с частотой около 20 Γ ц. Это приводит к модуляции поля B_{θ} и появлению в спектре «боковых линий от вращения образца»,

интенсивность которых при хорошей настройке прибора не превышает 1-1,5% от основного сигнала. Но отличить эти паразитные сигналы от сателлитов 13 C- 1 H легко. Они исчезают, если остановить вращение, а при изменении частоты вращения соответственно меняют свое положение. В самых современных приборах достигается столь высокая однородность поля, что необходимость использования вращения образца отпадает.

На рис. 6.23 показан спектр ¹H-ЯМР *транс*-1,2-дихлорэтилена. Как мы видим, сателлиты ¹³C-¹H в нем имеют дублетную структуру. Появление ее обусловлено проявлением КССВ ${}^{3}J_{HH}$ между протонами при двойной связи. В молекуле основного изотопомера $Cl^{12}CH=^{12}CHCl$ эта КССВ не наблюдается по той же причине, что и в молекуле ацетилена - оба протона химически и магнитно эквивалентны, т.к. молекула симметрична. Сателлиты ¹³С-¹Н в спектре принадлежат минорному изотопомеру $Cl^{13}CH=^{12}CHCl$. Его молекула уже асимметрична. Введение изотопа ^{13}C приводит к появлению очень маленького различия в химических сдвигах двух атомов водорода при двойной связи. О таких «изотопных химических сдвигах» я подробно расскажу Вам в одной из лекций второй части этого курса. В связи с этим спектр $Cl^{13}CH=^{12}CHCl$ следовало бы классифицировать как АВХ, и сателлиты ¹³С-¹Н в протонном спектре представляют собой АВ-часть этого спектра. В действительности спектр относится к типу АМХ, что может вызвать наше удивление, поскольку здесь не выполняется правило для слабо связанных систем (напомню еще раз формулу $\Delta \delta \geq 6J$). Но система все же остается слабо связанной, поскольку выполняется обратное соотношение $\Delta \delta << 6J$. Если пренебречь очень малым изотопным сдвигом и принять за начало отсчета v_{θ} положение сигнала основного изотопомера Cl¹²CH=¹²CHCl, резонансные частоты A и M протонов можно записать в виде:

$$v_A^{\ 1} = v_0 + 1/2^{\ 1} J_{CH}$$
 $v_A^{\ 2} = v_0 - 1/2^{\ 1} J_{CH}$
 $v_M^{\ 1} = v_0 + 1/2^{\ 2} J_{CH}$
 $v_M^{\ 2} = v_0 - 1/2^{\ 2} J_{CH}$

Тогда, с учетом КССВ ${}^3J_{HH}$ в экспериментальном спектре должно присутствовать 8 линий, а мы наблюдаем только 4! Дело в том, что ${}^2J_{CH}$ оказывается очень малой, и две из четырех внутренних линий оказываются скрытыми сигналом основного изотопомера, а две другие проявляются лишь как ступеньки на его пьедестале.

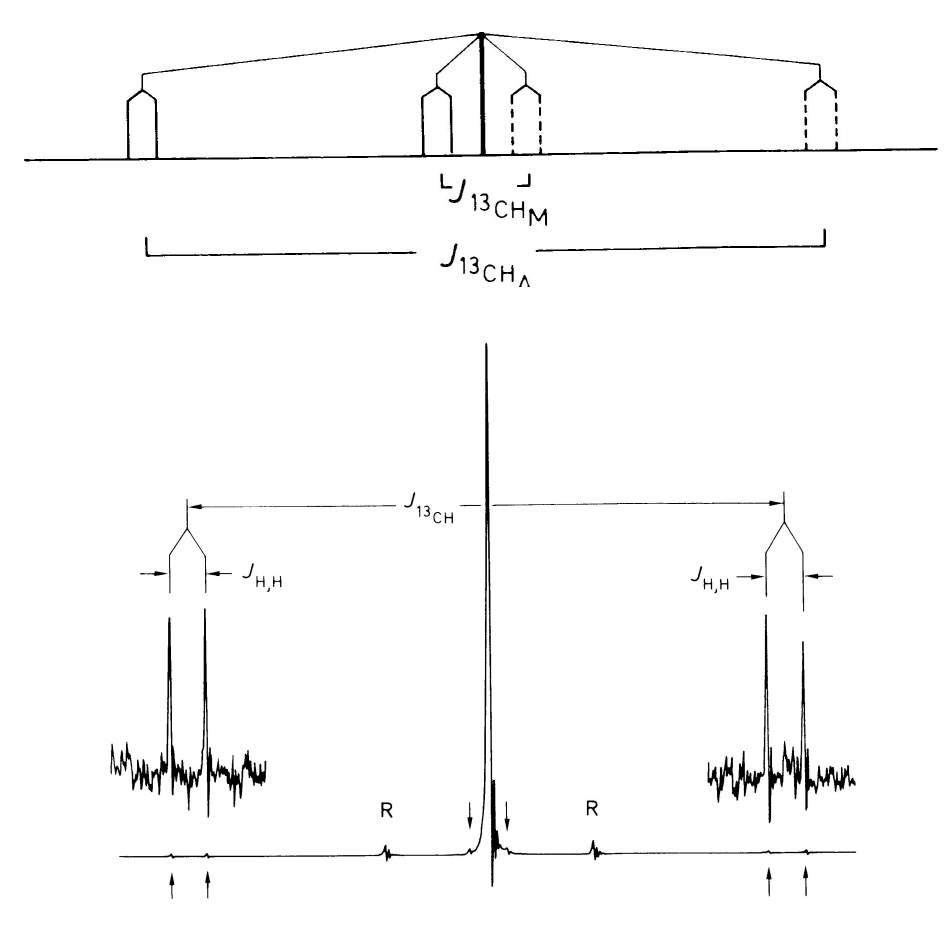


Рис. 6.23. Спектр ¹H-ЯМР *танс*-1,2-дихлорэтилена с сателлитами ¹³C-¹H. Вверху показан теоретический спектр с внутренними сателлитами.

Итак, регистрируя в протонных спектрах сателлиты 13 С- 1 Н, можно определить КССВ между эквивалентными протонами, которые не проявляются в спектре основного изотопомера. Эти сателлиты могут иметь весьма сложную форму. В качестве еще одного примера на рис. 6.24 показаны сателлиты 13 С- 1 Н в спектре 1 Н-ЯМР диоксана. Интенсивный синглет основного изотопомера в центре «обрезан» для экономии места.

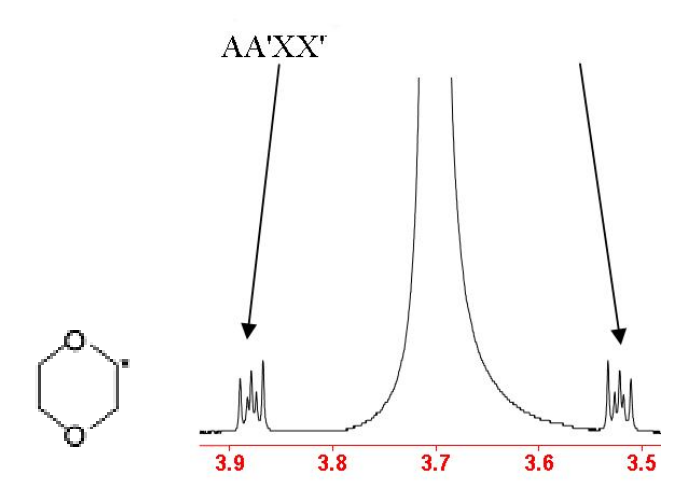


Рис. 6.24. Сателлиты ${}^{13}\text{C-}{}^{1}\text{H}$ в спектре ${}^{1}\text{H-ЯМР}$ диоксана.

Снятие вырождения за счет введения изотопной метки приводит к появлению спектра AA'BB'X, относящегося к фрагменту -OCH $_2$ - 13 CH $_2$ O-. При анализе AA'BB'- части этого спектра, которую мы видим в протонном спектре на рис. 6.24, можно найти все КССВ между протонами этого фрагмента.

Анализ тонкой структуры ¹³С-¹Н в протонном спектре иногда позволяет решать весьма сложные задачи. Вот пример из моей личной исследовательской практики. В одном из первых научных проектов наша группа изучала строение и свойства циклопентадиенильных производных элементов 14 группы (Si, Ge, Sn, Pb). Для соединений кремния и германия было строго установлено η^1 -строение: в них атом элемента был связан локализованной о-связью с одним из углеродов кольца. При этом спектры ¹Н-ЯМР этих соединений проявляли необычную температурную зависимость. При низких температурах все протоны С₅Н₅-кольца давали ожидаемый сложный спектр АА'ВВ'Х, который при повышении температуры коллапсировал в синглет А₅, что указывало на протекание в этих соединениях быстрой вырожденной металлотропной перегруппировки. Более подробно я расскажу об этой перегруппировке в следующей лекции. А вот спектр соединения C₅H₅SnMe₃ не проявлял температурной зависимости, и вплоть до температуры -100°C все пять протонов циклопентадиенильного кольца давали в спектре острый синглетный сигнал. Ранее такое же поведение было обнаружено для соединения $(C_5H_5)_2Hg$. Ha ЭТОМ ртути основании утверждалось, циклопентадиенильные лиганды связаны с атомами ртути и олова в этих соединениях по η^5 -типу, т.е так, как в ферроцене и других π -комплексах переходных металлов. Развернулась оживленная научная дискуссия, в которой представление о η^5 -строении этих соединений поддержал и А.Н. Несмеянов. Я придерживался противоположной точки зрения, и для того, чтобы отстоять ее, было необходимо найти надежные доказательства.

Одним из критериев могло бы стать сравнение КССВ J_{CH} и J_{HH} в C_5H_5 -кольцах соединений обоих типов. Определить эти КССВ из простого 1 H-ЯМР спектра невозможно, поскольку все протоны в кольце эквивалентны. Вот тут на помощь и пришла методика анализа сателлитов 13 C- 1 H в протонных спектрах. Ясно, что в этом случае замена 12 C на 13 C снимает вырождение, и спектр A_5 превращается в спектр AA'BB'XY, где Y – ядро 13 C. На рис. 6.25 показаны внешние сильнопольные сателлиты 13 C- 1 H для протонов кольца в протонных спектрах ферроцена и C_5H_5 SnMe3, каждый из которых представляет собой половину AA'BB'X-части этого спектра. Напомню, что этот спектр симметричен относительно центра. Для ферроцена сателлиты 13 C- 1 H наблюдал и анализировал также

Гольдстейн. Верхние кривые представляют собой экспериментальные спектры, а нижние – теоретические спектры, построенные для наилучших наборов рассчитанных параметров.

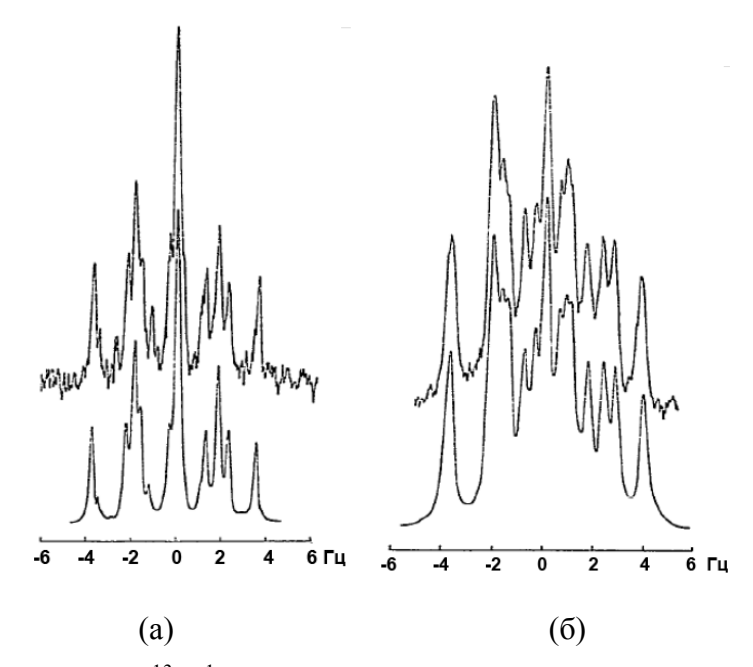


Рис. 6.25. Сателлиты 13 C- 1 H в протонных спектрах ферроцена (C_5H_5) $_2$ Fe и триметилциклопентадиенилолова C_5H_5 SnMe $_3$:

- (a) внешний слабопольный сателлит в спектре (C_5H_5)₂Fe ($\Delta v_{1/2} = 0,17$ Гц).
- (б) внешний слабопольный сателлит в спектре $C_5H_5SnMe_3$ ($\Delta v_{1/2} = 0.34 \Gamma \mu$).

Для $C_5H_5SnMe_3$ при анализе сателлитных спектров были получены КССВ, представленные в табл. 6.5.

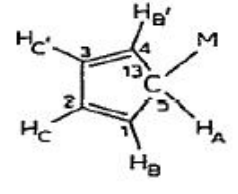
Таблица 6.5. Константы спин-спинового взаимодействия (C_5H_5 -кольцо), полученные при анализе структуры сателлитов $^{13}C^{-1}H$ в спектре $C_5H_5SnMe_3$.

$J^{I}(H-H)$	$J^2(H-H)$	J (¹³ C-C-C-H)	J (¹³ C-C-H)	J (¹³ C-H)
2,86±0,03	0,97±0,03	8,05±0,06	4,95±0,06	161,3±0,15

Конечно, если принять для $C_5H_5SnMe_3$ η^1 -строение и считать вырождение спектра следствием такой же перегруппировки, как в производных кремния и германия, то нужно иметь в виду, что $J^1(H-H)$ будет представлять собой усредненную вицинальную КССВ, а $J^2(H-H)$ – усредненную «диагональную» КССВ через 4 связи в пятичленном кольце:

$$J^{1}(H-H) = \frac{1}{5}(J_{12} + J_{23} + J_{34} + J_{45} + J_{15})$$

$$J^{2}(H-H) = \frac{1}{5}(J_{13} + J_{14} + J_{24} + J_{25} + J_{35})$$



Сопоставление полученных параметров с усредненными по той же схеме КССВ, найденными при анализе спектров циклопентадиенильных производных кремния и германия, для которых η^1 -строение было доказано однозначно, показало почти полную идентичность, а сравнение их с параметрами, полученными при анализе сателлитных спектров ферроцена и других η^5 -комплексов – полное отсутствие сходства. Обстоятельная статья была опубликована в международном журнале (Yu.K. Grishin, N.M. Sergeyev, Yu.A. Ustynyuk, *J.Organomet.Chem.*, **1972**, *34*, 105-118), и это послужило косвенным, но важным аргументом в споре. А вслед за этим нам удалось получить и неопровержимые доказательства η^1 -строения $C_5H_5SnMe_3$.

С появлением регистрации спектров 13 С-ЯМР с *«прерываемой широкополосной развязкой»* от протонов, о которой я уже рассказал, она стала основным методом экспериментального определения КССВ J_{CH} , и большинство результатов для молекул малой и средней массы было получено с помощью именно этого метода. Сейчас все большее количество таких данных получается из двумерных спектров.

6.4.2. Факторы, определяющие значения J_{CH} .

<u>Прямые константы</u> ${}^{I}\boldsymbol{J}_{\boldsymbol{CH}}$.

Уже простой взгляд на значения КССВ ${}^{I}J_{CH}$.в табл. 6.6 наводит на мысль о связи этих констант с типом гибридизации углерода и с s-характером связи С-Н. В существовании этой связи, которая наилучшим образом выражается уравнениями (6.1) или (6.2), нет ничего удивительного. Ведь только s-электроны имеют ненулевую вероятность пребывания на ядре атома (контактное взаимодействие Ферми).

$$^{1}J_{CH} = 500 \times \frac{\% \text{ s}}{100}$$
 (6.1)

$$^{1}J_{CH} = 570 \times \frac{\% \text{ s}}{100} - 18,4$$
 (6.2)

В таблице 6.6 представлены данные для ряда соединений с разными типами гибридизации, которые подтверждают наличие такой связи, но вместе с тем указывают на то, что существуют и другие факторы, оказывающие влияние на ${}^{I}\boldsymbol{J}_{CH}$.

Таблица 6.6. Значения КССВ ${}^{I}\boldsymbol{J}_{CH}$ для атомов углерода в разных гибридизациях.

sp ³ (25% s)		sp ² (33	% s)	sp (50% s)	
H-CH₃	125.0	H ₂ C=CH ₂	156.2	H-C≡C-H 249	9
H-CH ₂ CH ₃	124.9	H ₂ C=C=CH ₂	168.2	H-C≡C-Ph 248	3
H-CH(CH ₃) ₂	119.4		159	H-C≡C-F 275	5
H-C(CH ₃) ₃	114.2			H-C≡N 269	9
H-CH ₂ NH ₂	133.0	CH ₃		H-C≡Ň-H 320)
		 H	168		
		CH₃′			

Данные таблицы 6.7 ясно свидетельствуют о том, что главный из этих факторов – электроотрицательность заместителей при углероде. Электроноакцепторные заместители приводят к существенному росту ${}^{1}J_{CH}$, а электронодонорные – к ее уменьшению. При этом эффекты заместителей, если опираться на данные по полизамещенным метанам, практически аддитивны.

Таблица 6.7. Влияние заместителей на величины ${}^{1}\boldsymbol{J}_{CH}$.Значения даны в Γ ц.

222.0

194.8

175.0

По существу, введение электроноакцепторного заместителя ведет к увеличению s-характера связи С-H, а донорного — к его уменьшению. На качественном уровне это вполне понятно: s-орбитали имеют более низкие энергии, чем p-орбитали, и участвуют в образовании более глубоко лежащих молекулярных орбиталей. Любые перераспределения электронной плотности в молекуле осуществляются за счет смещения более высоко лежащих по энергии МО, в которые основной вклад дают p-AO. Поэтому вклад 2s-AO в σ -MO связи С-H растет.

159.2

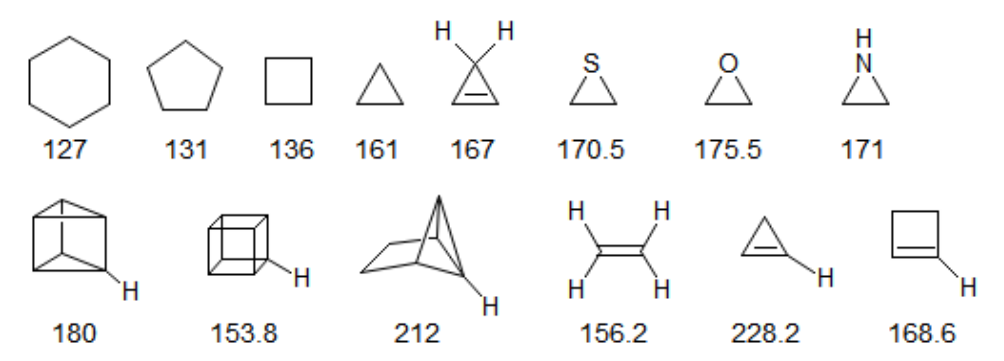
156.2

200.2

Вы, конечно, помните, что σ -связи С-С в малых циклах имеют повышенный p-характер, что неизбежно ведет к повышению s-характера связей С-Н и соответствующему росту ${}^{I}J_{CH}$. Подборку значений констант ${}^{I}J_{CH}$. в циклических и полициклических

системах я привожу в табл. 6.8 без особых комментариев, предоставляя вам возможность самостоятельно проанализировать их.

Таблица 6.8. Значения ${}^{I}\boldsymbol{J}_{CH}$.в циклических и полициклических системах.



Весьма любопытны данные относительно значений аксиальных и экваториальных ${}^{I}J_{CH}$.в шестичленных циклах. В.А. Чертков и Н.М. Сергеев в блестящей работе по анализу спектров ЯМР циклогексана при низкой температуре (*J.Am.Chem.Soc.* **1977**, *99*, 6750, об этой работе я еще расскажу более подробно) обнаружили небольшое различие ($\Delta^{I}J_{CH}$.= 4 Гц) аксиальной и экваториальной ${}^{I}J_{CH}$ в циклогексане. Аксиальная КССВ меньше. Этот эффект выражен более отчетливо для 1,3-диоксана ($\Delta^{I}J_{CH}$.= 10,1 Гц), что обусловлено, по всей видимости, переносом электронной плотности неподеленных пар атомов кислорода на σ^* -орбиталь связи С-Н ($n \rightarrow \sigma^*_{CH}$ взаимодействием):

На основании нашего короткого обсуждения можно сделать вывод, что ${}^{I}J_{CH}$ содержат богатую информацию о геометрии молекул и их электронной структуре. Приведенные здесь данные об этих КССВ не претендуют на полноту. Ежегодно публикуется более сотни работ, в которых приводятся все новые сведения.

Константы ${}^2\boldsymbol{J}_{\boldsymbol{CH}}$ и ${}^3\boldsymbol{J}_{\boldsymbol{CH}}$.

Относительно этих констант нет столь систематических и полных данных, как о ${}^{I}J_{CH}$. Относительно геминальных ${}^{2}J_{CH}$ известно, что они могут быть как положительными, так и отрицательными. Они изменяются симбатно с соответствующими J_{HH} , но по абсолютной величине, как правило, меньше их. В качестве примеров в табл. 6.9

приведены значения протон-протонных и углерод-протонных геминальных и вицинальных КССВ в нескольких типах структур.

Таблица 6.9. Протон-протонные и углерод-протонные геминальные и вицинальные КССВ в нескольких типах структур.

$$J_{HH} = 0$$

$$J_{CH} = -0.31$$

$$J_{CH} = -0.31$$

$$J_{CH} = 2.12$$

$$J_{CH} = -0.50$$

$$J_{CH} = -0.60$$

Относительно ${}^{3}\boldsymbol{J}_{CH}$ можно заметить, что они, подобно ${}^{3}\boldsymbol{J}_{HH}$, проявляют ту же зависимость от двугранного угла, что и зависимость Карплуса (рис. 4.3 в лекции 4). В алкенах $mpanc^{-3}\boldsymbol{J}_{CH}$ (7 – 15 Γ ц) больше $\mu uc^{-3}\boldsymbol{J}_{CH}$ (5 – 9 Γ ц), и эта зависимость весьма часто используется для определения конфигурации двойной связи в тризамещенных алкенах. Эти величины также зависят от электронных параметров заместителей. В таблице 6.10 приведено несколько типичных примеров.

Таблица 6.10. Значения $mpanc^{-3} \boldsymbol{J_{CH}}$ и $\mu uc^{-3} \boldsymbol{J_{CH}}$ в замещенных алкенах.

6.5. Пример постановки сложной задачи в области ¹³C-ЯМР и ее блестящего экспериментального решения.

В каждой области науки существуют «классические» работы, в которых решается одна из актуальных и сложных задач на пределе возможностей того времени, когда она поставлена. Полученные результаты таких работ входят в учебники, а сами они активно цитируются десятилетиями. Я не могу отказать себе в удовольствии рассказать вам о блестящей работе двух моих коллег, сотрудников нашей лаборатории, которая появилась в Журнале американского химического общества в 1977 г (V.A. Chertkov, N.M. Sergeyev, *J.Am.Chem.Soc.* 1977, 99, 6750-6752). Сразу замечу, что «прорваться в *JACS*» для российского автора и сейчас нелегко, а в то время было еще много тяжелее. Но эту работу взяли сразу и с прекрасными отзывами рецензентов.

Вернемся еще раз к таблице 6.9. Внимательные слушатели и читатели, глядя на нее, всегда обращают внимание на данные по КССВ J_{CH} для двух конформеров циклогексана. Мы ведь знаем, что при комнатной температуре конверсия цикла в циклогексане протекает столь быстро, что спектр коллапсирует в синглет. А при низких температурах спектры ¹Н-ЯМР столь сложны, что их невозможно проанализировать (12 спинов!). Как же Н.М. Сергееву и В.А. Черткову, которые их получили, удалось обойти эти трудности? Я был свидетелем всех стадий подготовки, выполнения и написания этой работы. Н.М. Сергеев предложил избавиться от проблемы мультиплетности, синтезировав молекулу $C_6D_{11}H$, в которой остался только один протон. Ф. Бови раньше уже использовал этот прием для точного определения барьера конверсии цикла в циклогексане по спектрам динамического ¹Н-ЯМР. Если записывать при низкой температуре спектры двойного резонанса ${}^{13}\text{C}-\{{}^{2}\text{D}\}$ -ЯМР, открывалась возможность увидеть сигналы обоих конформеров. В.А. Чертков аккуратно выполнил синтез. Сначала сполна дейтерированный циклогексан C_6D_{12} , который производится и продается как дейтерированный растворитель для ЯМР с обогащением по дейтерию больше 99,95%, был однократно прохлорирован, затем $C_6D_{11}Cl$ был превращен в магнийорганическое производное, простым гидролизом которого и был получен $C_6D_{11}H$. Спектры 10%-ного раствора $C_6D_{11}H$ в сероуглероде были записаны при комнатной температуре и при температуре -104°C. На рис. 6.26 я привожу их так, как они были представлены в журнале. Замечательные легко интерпретируемые спектры получены благодаря четкой постановке задачи, отличному выбору объекта и блестящему экспериментальному исполнению.

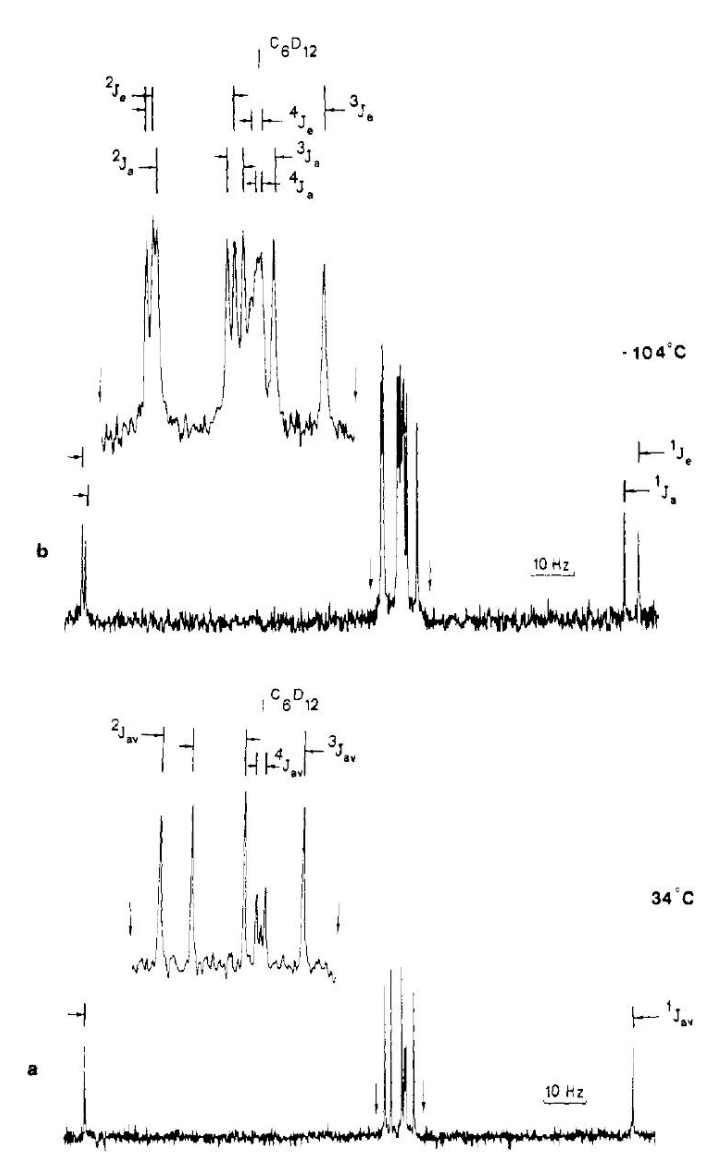


Рис. 6.26. Спектры 13 C- $\{^2D\}$ -ЯМР С $_6D_{11}$ H (25,16 МГц) при температурах +34°C (а) и -104°C (b). Центральные группы сигналов представлены более подробно на врезках. Даны отнесения расщеплений.

6.6. Пример решения структурной задачи.

Обычно при решении структурных задач химик-исследователь для всех препаратов, находящихся в работе, сразу проводит измерение полного набора спектров, в который входят 1 Н-ЯМР и 13 С- 1 Н}-ЯМР. В дополнение к этому, как правило, измеряются также спектры DEPT или INEPT, которые, как мы уже знаем, позволяют сразу определить число протонов, непосредственно связанных с каждым из углеродных атомов в молекуле. Спектроскопия 13 С- 1 Н}-ЯМР особенно информативна в том случае, когда приходится изучать соединения с длинными алифатическими цепочками. Малый диапазон изменения химических сдвигов 1 Н в таких соединениях обычно не позволяет сделать окончательные

выводы о структуре. Но по спектрам 13 C- $\{^{1}$ H $\}$ -ЯМР (разумеется, и при использовании информации 1 H-ЯМР) легко различаются, например, структурные изомеры алканов и алкенов.

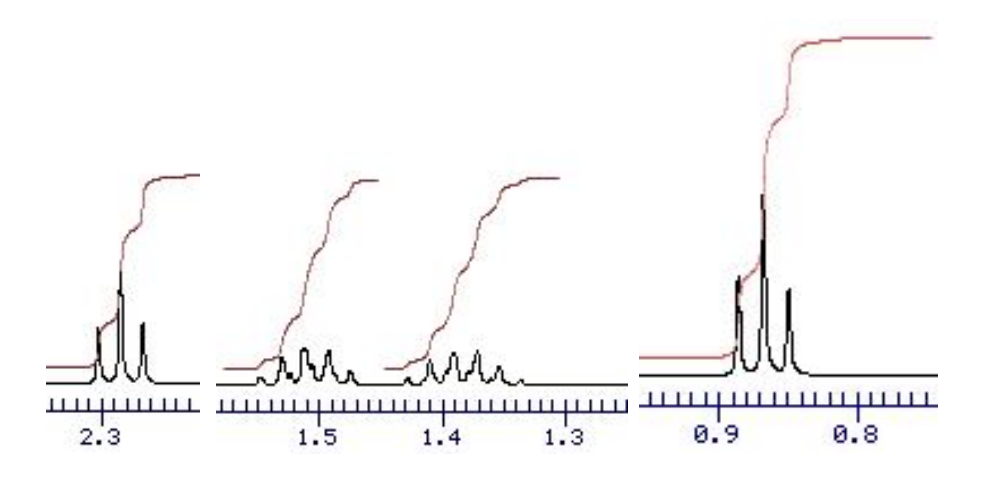
Методика решения структурных задач с использованием данных ¹³С-ЯМР не отличается от той, которую мы использовали в том случае, когда имеются только данные ¹Н-ЯМР (см. раздел 5.4 предыдущей лекции). Но при наличии спектра ¹³С-{¹H}-ЯМР у нас появляется дополнительная возможность сразу по нему определить число неэквивалентных атомов углерода в молекуле, а также и их тип. Это особенно полезно, когда в структуре имеются углероды, не несущие протонов. Разберем только один весьма простой пример.

На рис. 6.27 представлен спектр 1 H-ЯМР и его фрагменты, а на рис. 6.28 – спектр 13 C- $\{^{1}$ H $\}$ -ЯМР соединения с брутто-формулой С $_{8}$ H $_{12}$ O $_{2}$. Определите его структуру.

Значения химических сдвигов в спектре ¹³C-{¹H}-ЯМР этого соединения с указанием мультиплетности, определенной из спектра DEPT, приведены в табл. 6.11. Заметим, что в этом спектре присутствует также сигнал с химическим сдвигом 77 м.д. Он имеет вид триплета 1:1:1. Этот сигнал принадлежит дейтерохлороформу. Триплетное расщепление обусловлено спин-спиновым взаимодействием ¹³C-²H. Напомню, что спин дейтерия равен 1.

Таблица 6.11. Химические сдвиги и мультиплетности сигналов в спектре 13 C- $\{^1$ H $\}$ -ЯМР соединения C_8 H $_{12}$ O $_2$ по данным DEPT.

Химический сдвиг, м.д.	154,2	89,7	72,8	52,4	29,5	21,9	18,3	13,4
Мульти-	Син-	Син-	Син-	Квад-	Трип-	Трип-	Трип-	Квад-
плетность	глет	глет	глет	руплет	лет	лет	лет	руплет



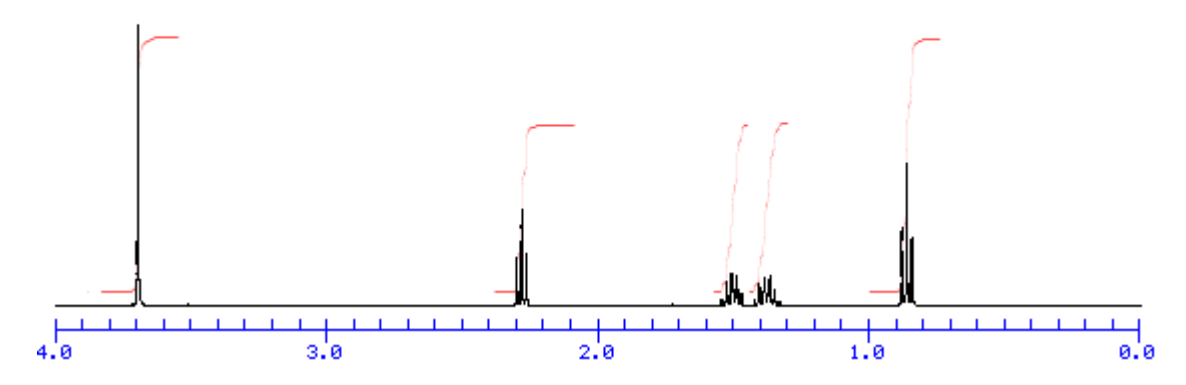
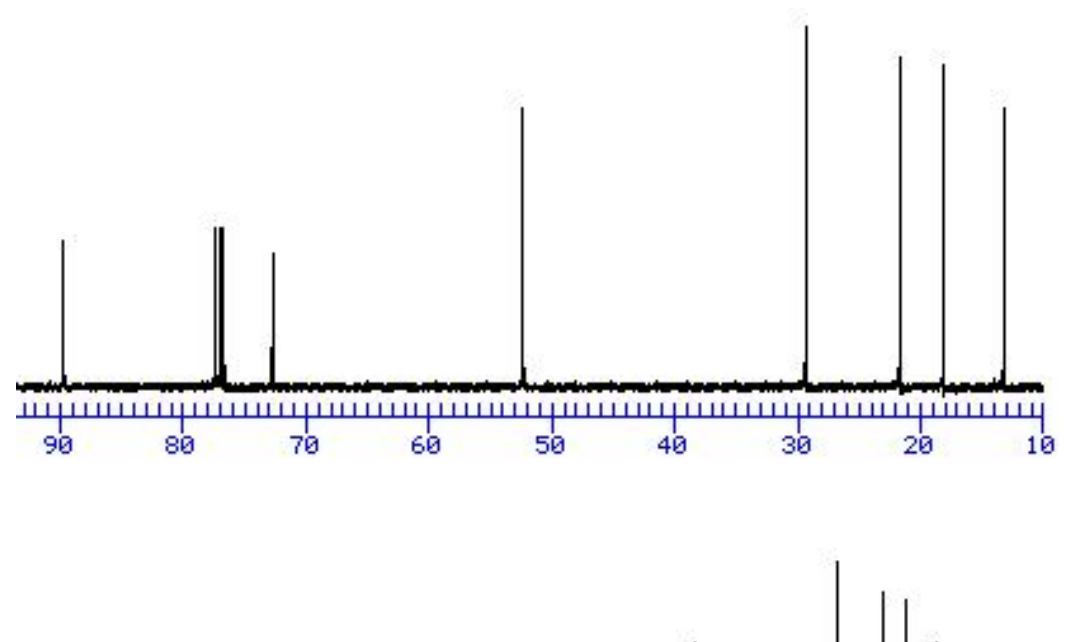


Рис. 6.27. Спектр 1 Н-ЯМР соединения $C_{8}H_{12}O_{2}$ и его фрагменты (вверху).



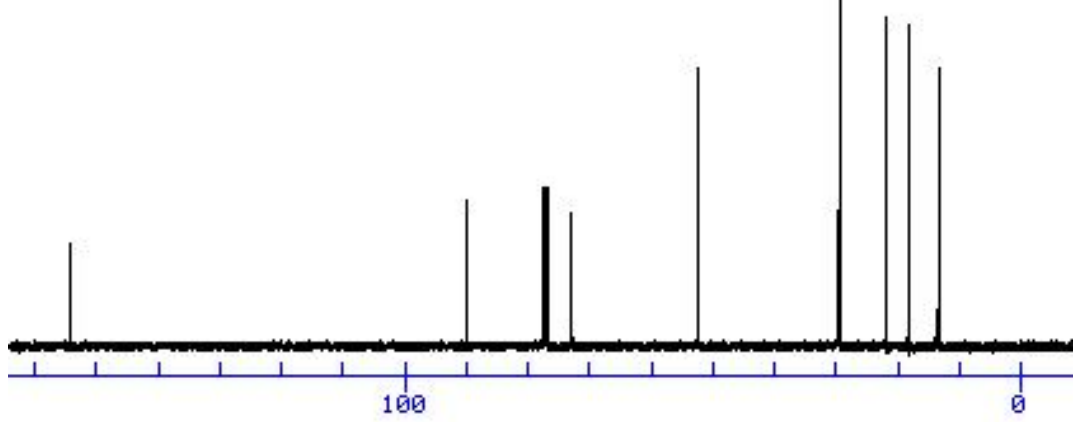


Рис. 6.28. Спектр 13 C- $\{^1$ H $\}$ -ЯМР соединения C_8 H $_{12}$ O $_2$. Высокопольная часть представлена вверху.

При решении этой задачи сразу обратимся к данным по 13 С. В молекуле мы видим 8 неэквивалентных атомов углерода, при этом мультиплетность указывает на присутствие

двух метилов (13,4 м.д. и 52,4 м.д.), трех метиленовых групп (29,5 м.д., 21,9 м.д. и 18,3 м.д.) и трех «четвертичных» углеродов, не несущих протонов. Сигнал в самом слабом поле мы опознаем сразу по химическому сдвигу (см. рис. 6.19) — это сложноэфирный карбонил. Осталось совсем немного — собрать скелет.

По мультиплетам в сильном поле в протонном спектре легко опознаем цепочку из 4 углеродов СН₃СН₂СН₂СН₂. Подробный анализ этой части спектра Вы легко проведете самостоятельно. При этом прошу обратить внимание на следующий момент: мультиплеты в средней части спектра имеют усложненную форму и уширены. Объясните это. Определите тип этого спектра. Синглет с химическим сдвигом 3,7 м.д. и относительной интенсивностью 3 явно принадлежит метилу группы СН₃О. Осталось только определить тип двух четвертичных углеродов с химическими сдвигами 89,7 и 72,8 м.д. Это тоже не сложно – именно в этой области лежат сигналы ацетиленовых углеродов. Тогда структура легко собирается: СН₃СН₂СН₂С≡ССООСН₃.

На семинарских занятиях Вам предстоит прорешать несколько десятков таких и более сложных задач. Я очень рекомендую Вам также потренироваться в этом самостоятельно. Воспользуйтесь для этого великолепным набором тренировочных задач профессора Крейга Мерлика на сайте Факультета химии и биохимии Калифорнийского университета в Лос-Анжелесе (http://w3.chem.ucla.edu/~webspectra/#Problems). Я сам получил большое удовольствие, разбирая некоторые из них.